

Лекция 2:

Роль эффекта Доплера в ЯРФ.

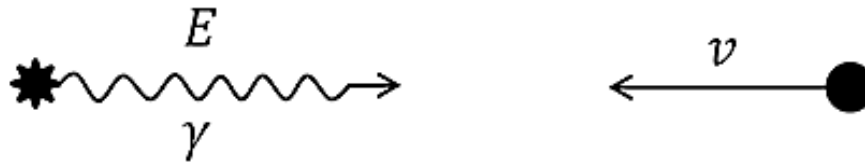
Связь радиационной ширины уровня
с волновыми функциями
начального и конечного состояний ядра.

Роль эффекта Доплера в ЯРФ

Ядерная гамма-линия в действительности может быть много шире, чем следует из её брейт-вигнеровской формы из-за эффекта Доплера.

Если ядро в покое испускает γ -квант с энергией E , то другое ядро, двигаясь в направлении γ -источника со скоростью v , встретит γ -квант с энергией

$$E' = E \left(1 + \frac{v}{c}\right) \frac{1}{\sqrt{1 - \left(\frac{v}{c}\right)^2}} \approx E \left(1 + \frac{v}{c}\right). \quad (1)$$



Аналогично, γ -источник, двигаясь со скоростью v в направлении неподвижного ядра, испускает по отношению к этому ядру не γ -квант с энергией E , а γ -квант с энергией E' .

Если скорости ядер поглотителя имеют максвелловское распределение, то вероятность у ядра иметь компоненту v в направлении источника даётся соотношением

$$w(v)dv = \sqrt{\frac{M}{2\pi kT}} e^{-\frac{Mv^2}{2kT}} dv, \quad (2)$$

где M – масса ядра, $k = 8,6 \cdot 10^{-11}$ МэВ/Кельвин – постоянная Больцмана, а T – абсолютная температура поглотителя.

Комбинируя (1) и (2), получаем для распределения эффективных («наблюдаемых» поглотителем) энергий E' :

$$w(E')dE' = \frac{1}{\Delta\sqrt{\pi}} e^{-\left(\frac{E'-E}{\Delta}\right)^2} dE',$$

где $\Delta = \frac{E}{c} \sqrt{\frac{2kT}{M}}$ — так называемая «доплеровская ширина».

Оценим масштаб Δ при комнатной температуре $T \approx 300^\circ\text{K}$. Возьмём ядро ${}^{57}_{26}\text{Fe}$ ($A = 57$) и фотоны, испускаемые при переходе ядра ${}^{57}_{26}\text{Fe}$ из 1-го и 2-го возбуждённых состояний в основное и фотоны с энергиями ≈ 1 и 10 МэВ, испускаемые этим же ядром. Для фотонов с $E = 1$ МэВ имеем:

$$\Delta = \frac{E}{c} \sqrt{\frac{2kT}{M}} \approx 1 \text{ МэВ} \sqrt{\frac{2 \cdot 8,6 \cdot 10^{-11} \text{ МэВ/К} \cdot 300 \text{ К}}{57 \cdot 939 \text{ МэВ}}} \approx 1 \text{ эВ}.$$

Проделав аналогичные вычисления для других вышперечисленных энергий фотонов, испускаемых ядром ${}^{57}_{26}\text{Fe}$, составим следующую таблицу 1:

Значения E и Δ для фотонов ядра ${}_{26}^{57}\text{Fe}$, находящегося при комнатной температуре

E	0,014 МэВ	0,136 МэВ	1 МэВ	10 МэВ
Δ	0,014 эВ	0,14 эВ	1 эВ	10 эВ

Таблица 1

Видно, что с большой точностью для ядра ${}_{26}^{57}\text{Fe}$ справедлива связь $\Delta \approx 10^{-6} E$.

Если увеличить массовое число A до 200 (ядра в районе Pb), то доплеровская ширина при комнатной температуре уменьшится примерно в 2 раза по сравнению с данными таблицы 1.

Для подавляющего большинства γ -переходов среднее время жизни $\tau > 10^{-14}$ сек и ширины Γ , рассчитываемые из соотношения $\Gamma = \frac{\hbar}{\tau}$, будут меньше 0,1 эВ:

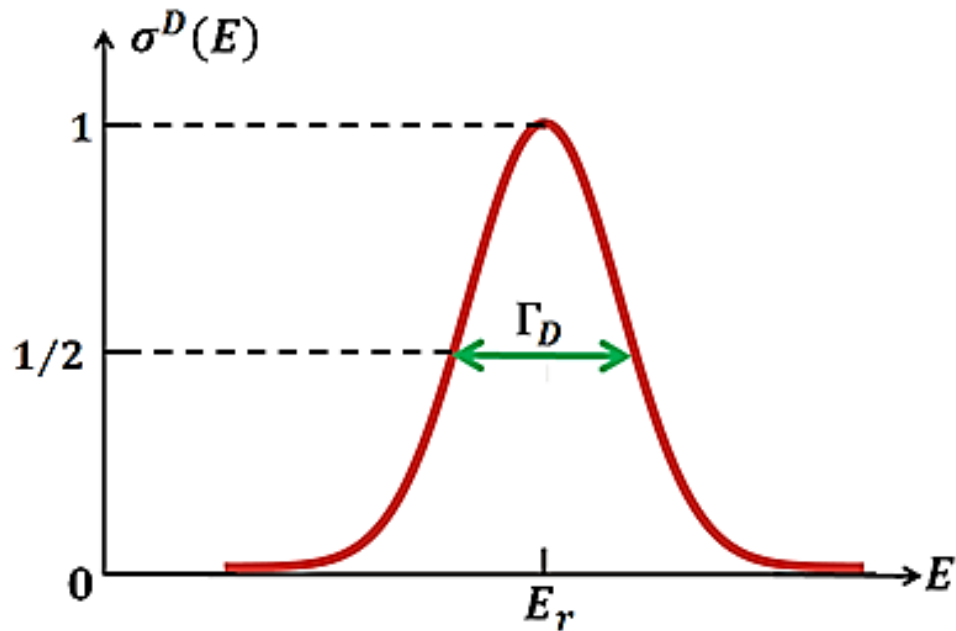
$$\Gamma(\text{для } \tau = 10^{-14} \text{ сек}) \approx 0,07 \text{ эВ},$$

$$\Gamma(\text{для } \tau = 10^{-9} \text{ сек}) \approx 0,7 \cdot 10^{-6} \text{ эВ}.$$

Т. е. для большинства γ -переходов $\Delta \gg \Gamma$ и эффективное сечение рассеяния (поглощения) фотонов имеет «доплеровскую» форму:

$$\sigma^D(E) = \sigma^m(E_r) \frac{\Gamma \sqrt{\pi}}{2\Delta} e^{-\left(\frac{E-E_r}{\Delta}\right)^2},$$

т. е. имеет гауссову зависимость от энергии с доплеровской шириной Δ . В этом соотношении $\sigma^m(E_r)$ – максимальное значение брейт-вигнеровских сечений, т. е. этих сечений при $E = E_r$.

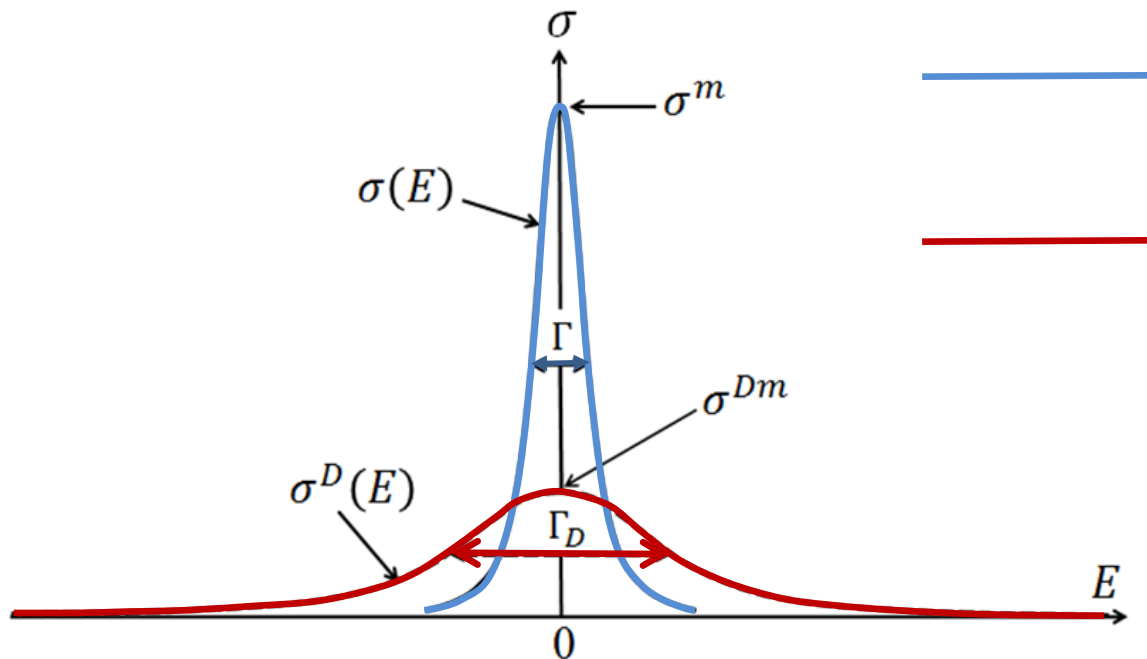


Гауссова зависимость эффективного сечения

Гауссова зависимость сечения в отличие от брейт-вигнеровской при одинаковой ширине Γ характеризуется более медленным спадом вблизи максимума и более резким спадом вдали от максимума (большей прижатостью крыльев кривой сечения к горизонтальной оси энергий).

Очевидно, что интегральное сечение, отвечающее γ -линии, не зависит от доплеровского уширения и даётся выражением:

$$\int_{\text{резонансу}}^{\text{по}} \sigma^D(E) dE = \int_{\text{резонансу}}^{\text{по}} \sigma(E) dE = (\pi\lambda)^2 2g\Gamma_0.$$



Брейт-вигнеровское сечение $\sigma(E)$ (холодное вещество, $T = 0$)
 Доплеровски уширенное сечение $\sigma^D(E)$ (нагретое вещество, $T \neq 0$)

Максимальная величина доплеровски уширенного сечения определяется равенством $\sigma^{Dm} = \sigma^D(E_r)$.

Эта величина и максимальная величина не уширенного (брейт-вигнеровского сечения) $\sigma^m = \sigma(E_r)$ связаны соотношением

$$\frac{\sigma^{Dm}}{\sigma^m} = \frac{\sqrt{\pi}}{2} \cdot \frac{\Gamma}{\Delta} \approx 0,9 \frac{\Gamma}{\Delta}.$$

Для полуширины доплеровского сечения имеет место выражение

$$\Gamma_D = 2\Delta\sqrt{\ln 2}.$$

Но даже доплеровская форма γ -линии не видна в эксперименте. Форма наблюдаемой линии даётся функцией отклика спектрометра, которая также имеет гауссову зависимость с полушириной

$$\Gamma_{detector} \gg \Gamma_D \gg \Gamma.$$

Два способа компенсации отдачи ядра при работе с монохроматическими γ -источниками:

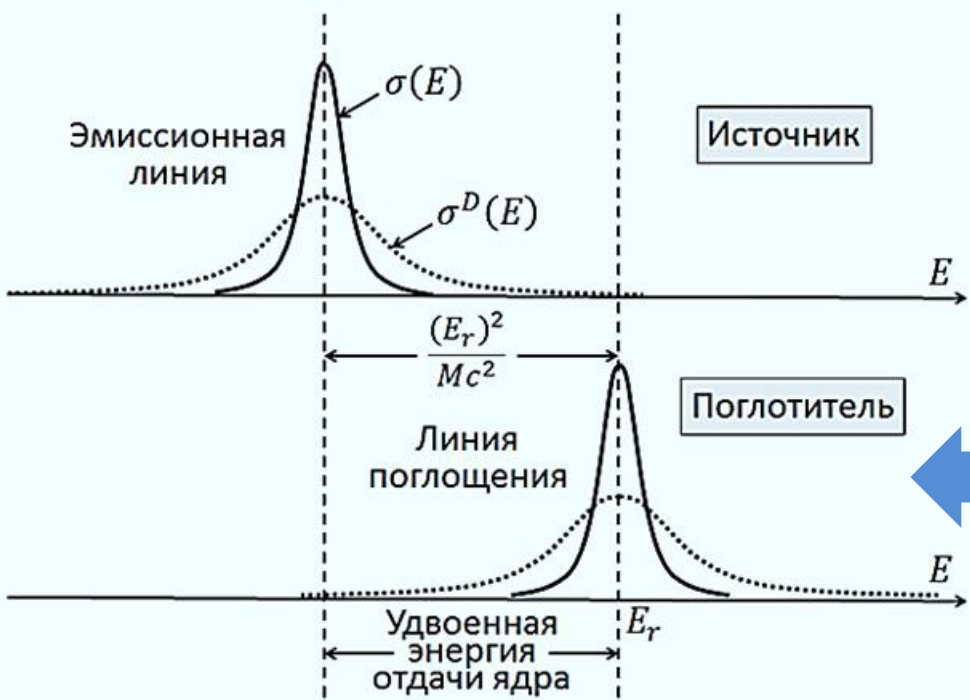
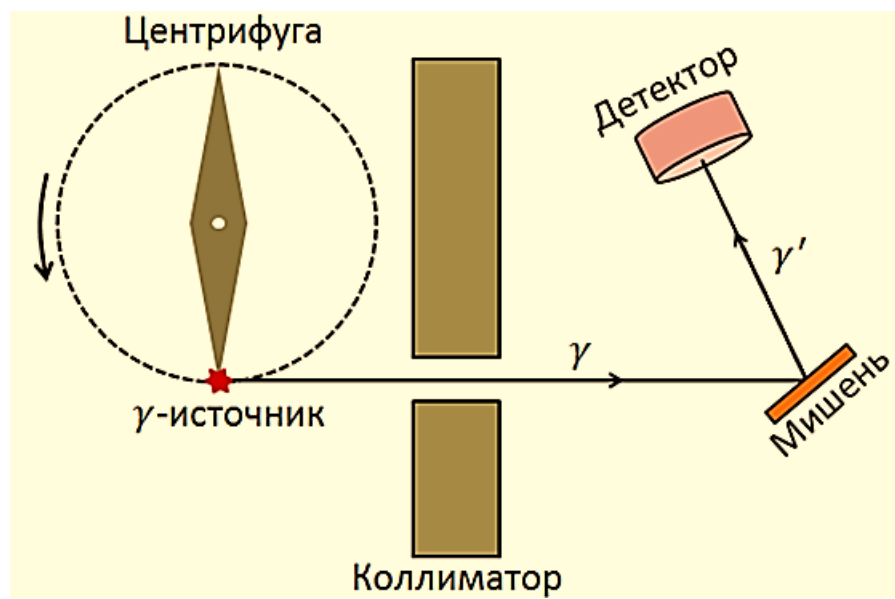
Схема ЯРФ-эксперимента с компенсацией отдачи ядра за счёт эффекта Доплера:

1) *Центрифуга*

$$E_{\text{я}} = \frac{Mv^2}{2} = \frac{E_{\gamma}^2}{2Mc^2}$$

$$v = \left(\frac{E_{\gamma}}{Mc^2} \right) \cdot c$$

$E_{\gamma} \leq 0,5 \text{ МэВ}$ и $v \approx$ сотни $\frac{\text{М}}{\text{сек}}$



2) *Нагревание источника*

до 1000°C для $E_{\gamma} \leq 0,5 \text{ МэВ}$

Реализации ЯРФ за счёт доплеровского уширения γ -линии. Эмиссионная линия γ -перехода с энергией E_{γ} сдвинута к меньшим энергиям относительно линии поглощения за счёт двукратной отдачи ядра. Доплеровское уширение приводит к частичному перекрытию линий испускания и поглощения, т. е. к возможности ЯРФ.

Связь радиационной ширины уровня с волновыми функциями начального и конечного ядра

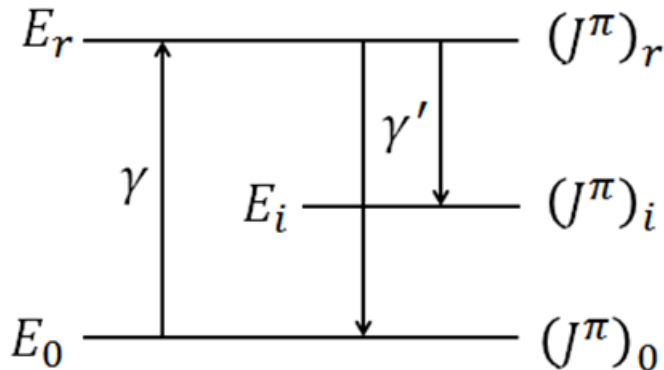


Схема ЯРФ с вариантом γ -перехода из возбужденного состояния (E_r) в основное состояние – так называемая «чистая ЯРФ» ($E_0 \rightarrow E_r \rightarrow E_0$)

Для чистой ЯРФ ($E_0 \rightarrow E_r \rightarrow E_0$) площадь под γ -линией обратного перехода даётся интегралом

$$\int_{\text{резонансу}}^{\text{по}} \sigma_0(E) dE = (\pi\lambda)^2 \frac{2J_r+1}{2J_0+1} \cdot \frac{\Gamma_0^2}{\Gamma}$$

Если возбужденное состояние может распадаться только в основное состояние, то $\Gamma = \Gamma_0$ и

$$\int_{\text{резонансу}}^{\text{по}} \sigma_0(E) dE = (\pi\lambda)^2 \frac{2J_r+1}{2J_0+1} \cdot \Gamma_0$$

Таким образом, при известных спинах участвующих в ЯРФ состояний вероятность γ -перехода определяется только шириной Γ_0 .

Как эта ширина связана с матричным элементом перехода $\langle r|V|0\rangle$, где $|r\rangle$ и $|0\rangle$ – волновые функции возбуждённого и основного состояний, а V – оператор электромагнитного перехода?

Этот оператор обозначается V_{JM}^E или M , имея в виду электрический (E) или магнитный (M) тип γ -перехода, а J и M – мультипольность γ -перехода и проекция углового момента перехода на выделенную ось.

Для системы A бесспиновых частиц с зарядами e_α и массами m_α имеет место соотношение

$$V_{JM}^E \text{ или } M = -\frac{1}{c} \sum_{\alpha=1}^A \frac{e_\alpha}{m_\alpha} \vec{A}_{JM}^E \text{ или } M \cdot \vec{p}_\alpha,$$

где \vec{A}_{JM}^E или M – векторный мультипольный потенциал соответствующего поглощённого (излучённого) фотона.

В длинноволновом приближении $\lambda \gg R$ и V_{JM}^E или M допускает запись в виде функции, зависящей от координат частиц. Так оператор E1-перехода системы частиц, если не интересоваться проекцией углового момента перехода на выделенную ось, можно записать в виде вектора электрического дипольного момента этой системы

$$\vec{D} = \sum_{\alpha=1}^A e_\alpha \vec{r}_\alpha,$$

где e_α и \vec{r}_α – соответственно электрические заряды и радиусы-векторы частиц.

В общем случае (для любого J и его проекции M на выделенную ось z)
имеем в отсутствии спинов

$$V_{JM}^E = \sum_{\alpha} e_{\alpha} r_{\alpha}^J Y_{JM}(\theta_{\alpha}, \varphi_{\alpha}).$$

С учётом спиновых степеней свободы мультипольные операторы электрических
и магнитных переходов системы частиц в длинноволновом приближении,
обозначаемые Ω_{JM}^E и Ω_{JM}^M , имеют вид

$$\Omega_{JM}^E = \sum_{\alpha=1}^A [e_{\alpha} r_{\alpha}^J Y_{JM}(\vec{r}_{\alpha}) + \text{спиновая часть}],$$

$$\Omega_{JM}^M = \sum_{\alpha=1}^A \frac{e_{\alpha}}{2m_{\alpha}c} \left[\frac{2\vec{l}_{\alpha}}{J+1} + g_s^{\alpha} \vec{s}_{\alpha} \right] \text{grad}_{\alpha} \left(r_{\alpha}^J Y_{JM}(\vec{r}_{\alpha}) \right).$$

Здесь m_{α} , \vec{l}_{α} , \vec{s}_{α} – массы частиц, их орбитальные и спиновые моменты,
а g_s^{α} – гироманнитные спиновые факторы частиц
(+5,585 для протонов и -3,826 для нейтронов)

Из вида оператора магнитного дипольного перехода Ω_{JM}^M можно получить выражение, совпадающее по форме с вектором магнитного дипольного момента системы частиц. Приведём это выражение в ядерных магнетонах ($\mu_N = \frac{e_p \hbar}{2m_p c}$)

$$\vec{M} = \sum_{\alpha=1}^A (g_l^\alpha \vec{l}_\alpha + g_s^\alpha \vec{s}_\alpha).$$

Вероятность перехода ядра в единицу времени из начального состояния $|i\rangle$ в конечное $|f\rangle$ с испусканием фотона электрического или магнитного типа с энергией E_γ , угловым моментом (мультипольностью) J и проекцией M имеет вид

$$W_{JM}^{E \text{ или } M} = \frac{1}{\hbar} \Gamma_{JM}^{E \text{ или } M} = \frac{8\pi(J+1)}{J[(2J+1)!!]^2} \cdot \frac{1}{\hbar} \left(\frac{E_\gamma}{\hbar c}\right)^{2J+1} |\langle f | \Omega_{JM}^{E \text{ или } M} | i \rangle|^2,$$

где $\Gamma_{JM}^{E \text{ или } M}$ — ширина соответствующего перехода,

$$\text{а } (2J + 1)!! = 1 \cdot 3 \cdot 5 \cdot \dots \cdot (2J + 1).$$

Обычно не конкретизируется ориентация ядра (его поляризация) в начальном и конечном состояниях. В этом случае при вычислении вероятности перехода необходимо суммировать по проекциям M_f спина J_f ядра на выделенную ось в конечном состоянии и усреднить по проекциям M_i спина ядра J_i в начальном состоянии. При осуществлении этой операции используют понятие **приведённой вероятности перехода**:

$$B_J^{E \text{ или } M} = \frac{1}{2J_i + 1} \sum_{M_i, M_f} |\langle J_f | \Omega_{JM}^{E \text{ или } M} | J_i \rangle|^2.$$

С учётом двух последних выражений для ширины γ -распада можно записать

$$\Gamma_J^{\text{E или M}} = \frac{8\pi(J+1)}{J[(2J+1)!!]^2} \left(\frac{E_\gamma}{\hbar c}\right)^{2J+1} B_J^{\text{E или M}}.$$

При этом ширина Γ_0 распада из исследуемого резонансного состояния $|r\rangle$ в основное $|0\rangle$, формируемая в общем случае набором электрических и магнитных γ -переходов различной мультипольности, даётся выражением

$$\Gamma_0 = \sum_J \frac{8\pi(J+1)}{J[(2J+1)!!]^2} \left(\frac{E_\gamma}{\hbar c}\right)^{2J+1} (B_J^{\text{E}} + B_J^{\text{M}}).$$

Ситуация на первый взгляд сильно осложнена возможным участием в формировании Γ_0 переходов различного типа и мультипольности. Однако, число этих переходов обычно не превышает двух. Более того, в большинстве случаев в экспериментах с мишенями из стабильных ядер возможен лишь один переход (одного типа и одной мультипольности). Действительно, 2/3 стабильных ядер чётно-чётные, т. е. для них $J_0^\pi = 0^+$. Это означает, что в этом случае переходы $0 \rightarrow r \rightarrow 0$ (чистая ЯРФ) возможны лишь по под действием либо только электрического, либо только магнитного фотона одной мультипольности.

При этом для Γ_0 имеет место выражение без суммирования по J :

$$\Gamma_0 = \frac{8\pi(J+1)}{J[(2J+1)!!]^2} \left(\frac{E_\gamma}{\hbar c}\right)^{2J+1} B_J^{\text{E или M}}.$$

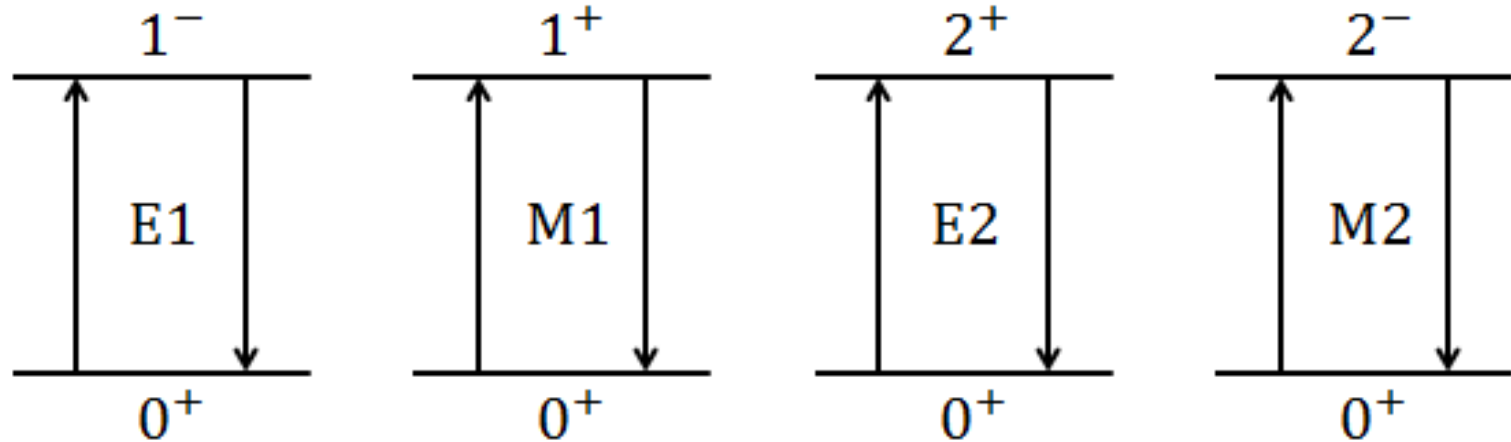
В этом случае из экспериментально найденных Γ_0 , при известных J_0 и J_r , однозначно определяется величина приведенной вероятности перехода

B_J^E или B_J^M , а значит и матричный элемент $\langle r | \Omega_{JM}^E \text{ или } M | 0 \rangle$.

Поскольку $\Omega_{JM}^E \text{ или } M$ известны, а волновые функции $|0\rangle$ основных состояний стабильных чётно-чётных ядер в большинстве случаев достаточно хорошо известны, то знание Γ_0 непосредственно приводит к информации о структуре волновых функций возбуждаемых состояний $|r\rangle$.

Аналогичная ситуация возникает и в том случае, когда при $J_0 \neq 0$ нулевым оказывается спин возбужденного состояния ядра.

Приведём наиболее распространённые низколежащие
Электромагнитные переходы чётно-чётных ядер приведены



Если $J_0 \neq 0$ и $J_r \neq 0$, то правила отбора допускают возможность поглощения фотонов обоих типов и нескольких мультипольностей, т. е. имеет место смесь переходов. Но при $\lambda \gg R$ можно и в этом случае выделить два основных перехода – самый интенсивный электрический и самый интенсивный магнитный. При этом, как правило, мы будем иметь дело либо с E1, либо с E2-переходом, либо с парами сравнимых по интенсивности переходов типа M1 + E2, M2 + E3 и так далее.

